

浅水波

林 祥介

2014 年 07 月 18 日

1 波動方程式

非回転系浅水波方程式に現われる波—浅水波—の伝播・構造を調べる。浅水波方程式系²から出発する。

$$\frac{\partial u}{\partial t} + u \frac{\partial u}{\partial x} + v \frac{\partial u}{\partial y} - fv = -g \frac{\partial h}{\partial x}, \quad (1)$$

$$\frac{\partial v}{\partial t} + u \frac{\partial v}{\partial x} + v \frac{\partial v}{\partial y} + fu = -g \frac{\partial h}{\partial y}, \quad (2)$$

$$\frac{\partial H}{\partial t} + \frac{\partial}{\partial x}(Hu) + \frac{\partial}{\partial y}(Hv) = 0. \quad (3)$$

$f = 0$ の場合を考える。 u, v, h が微小量であるとして線型化すると

$$\frac{\partial u}{\partial t} = -g \frac{\partial h}{\partial x}, \quad (4)$$

$$\frac{\partial v}{\partial t} = -g \frac{\partial h}{\partial y}, \quad (5)$$

$$\frac{\partial h}{\partial t} + H_0 \left(\frac{\partial u}{\partial x} + \frac{\partial v}{\partial y} \right) = 0, \quad (6)$$

H_0 は静止状態での流体の深さ、 h は静止状態からの水面の変位を表わす。

(3),(4) より

$$\frac{\partial}{\partial t}(\operatorname{div} \mathbf{v}) = -g \nabla^2 h \quad (7)$$

ただし、

²浅水波方程式系の導出についてはシリーズ‘浅水波方程式’を参照せよ

$$\operatorname{div} \mathbf{v} = \frac{\partial u}{\partial x} + \frac{\partial v}{\partial y},$$
$$\nabla^2 = \frac{\partial^2}{\partial x^2} + \frac{\partial^2}{\partial y^2}$$

である.

(6) と (7) より $\operatorname{div} \mathbf{v}$ を消去すると, 波動方程式が求まる.

$$\frac{\partial^2 h}{\partial t^2} - gH_0 \left(\frac{\partial^2 h}{\partial x^2} + \frac{\partial^2 h}{\partial y^2} \right) = 0. \quad (8)$$

2 浅水波の分散関係

(9) の解を平面波の形で求める. $h = h_0 e^{i(kx+ly-\omega t)}$ を代入することにより浅水波の分散関係が得られる.

$$\omega^2 = gH_0(k^2 + l^2) \quad (9)$$

2.1 位相速度

$$c \equiv \frac{\omega}{\sqrt{k^2 + l^2}} = \sqrt{gH_0}, \quad (10)$$

$$c_x \equiv \frac{\omega}{k} = \sqrt{gH_0} \frac{\sqrt{k^2 + l^2}}{k}, \quad (11)$$

$$c_y = \frac{\omega}{l} = \sqrt{gH_0} \frac{\sqrt{k^2 + l^2}}{l}. \quad (12)$$

2.2 群速度

$$c_{gx} \equiv \frac{\partial \omega}{\partial k} = \sqrt{gH_0} \frac{k}{\sqrt{k^2 + l^2}}, \quad (13)$$

$$c_{gy} \equiv \frac{\partial \omega}{\partial l} = \sqrt{gH_0} \frac{l}{\sqrt{k^2 + l^2}}, \quad (14)$$

$$\mathbf{c}_g = \sqrt{gH_0} \frac{\mathbf{k}}{|\mathbf{k}|}. \quad (15)$$

ただし $\mathbf{k} = (k, l)$ である. (10) から浅水波の位相速度 c は波数によらないことがわかる (分散がない).

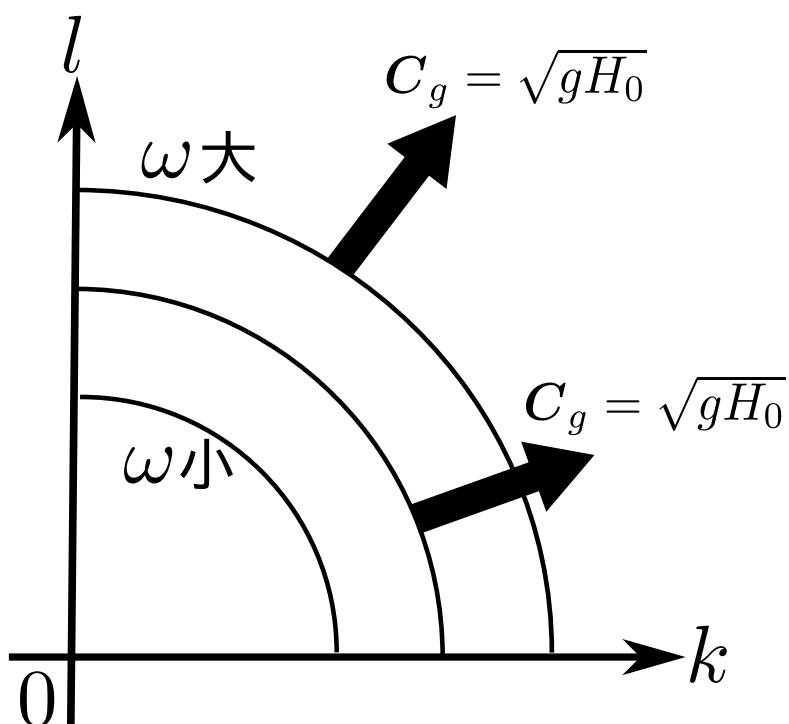


図 1: 表面重力波の分散関係

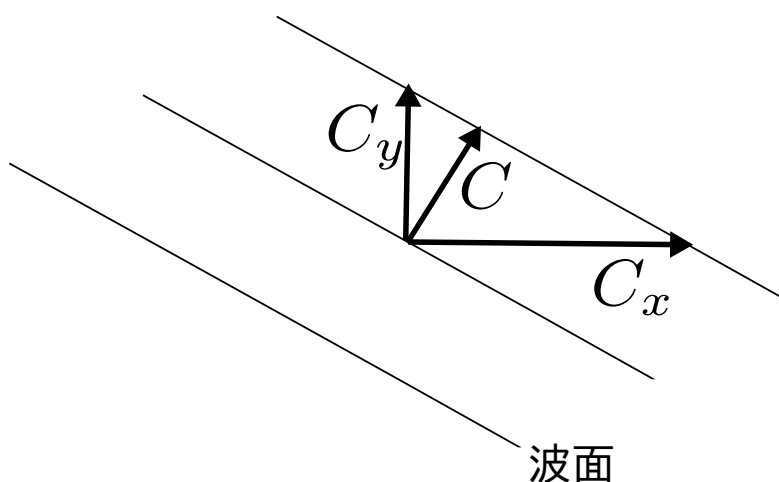


図 2: 位相速度

3 表面重力波の伝播 ～ 初期値問題

y 方向に一様である簡単な状況を例に、浅水波の伝播する様子を記述する.

(4)～(6) について $\frac{\partial}{\partial y} = 0$ の場合を考える.

初期値 $h|_{t=0} = h_0(x)$, $\frac{\partial h}{\partial t}|_{t=0} = \zeta(x)$ に対する解は,

$$h(x, t) = \frac{1}{2}\{h_0(x - ct) + h_0(x + ct)\} + \frac{1}{2c} \int_{x-ct}^{x+ct} dx' \zeta(x') \quad (16)$$

となる (Appendix.A) . $c \equiv \sqrt{gH_0}$ は浅水波の位相速度である.

• 例

$t = 0$ で静止, 矩形波型の変位を与えたときの伝播の様子を調べる.

$$h_0(x) = \begin{cases} h_0 & |x| < L \\ 0 & |x| > L \end{cases}$$

$$\zeta(x) = 0,$$

この初期値に対する解は,

$$h(x, t) = h_+(x, y) + h_-(x, y)$$

$$h_{\pm}(x, t) = \begin{cases} \frac{1}{2}h_0 & |x \pm ct| < L \\ 0 & |x \pm ct| > L \end{cases}$$

初期に与えられた変位は, 2つにわかれて形を保ったまま伝播してゆく (図 3) .

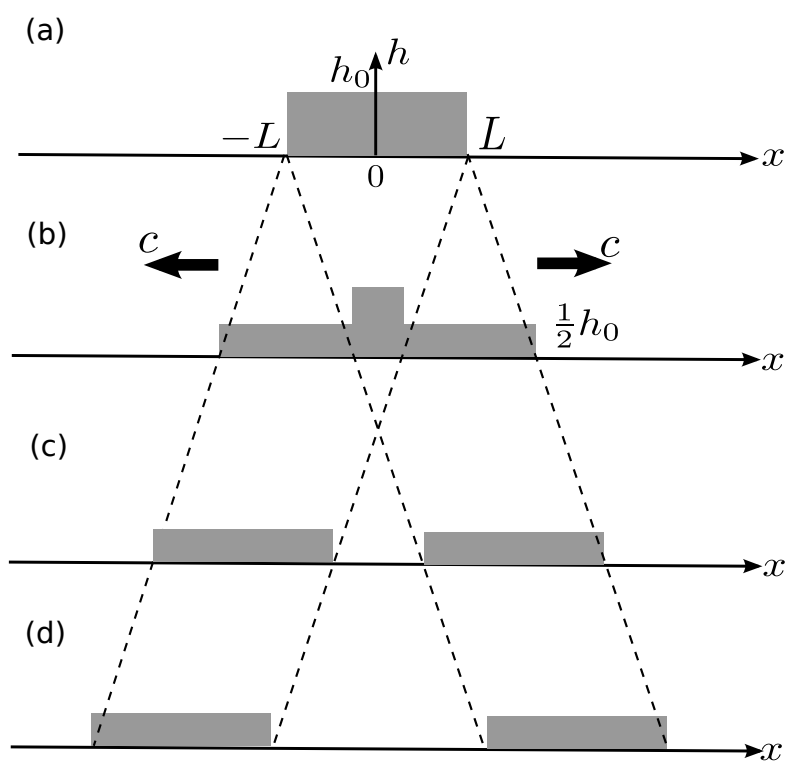


図 3: 初期変位を与えたときの表面重力波の伝播の様子. (a) から (d) へと変位が両側に速さ $c = \sqrt{gH_0}$ で伝播していく.

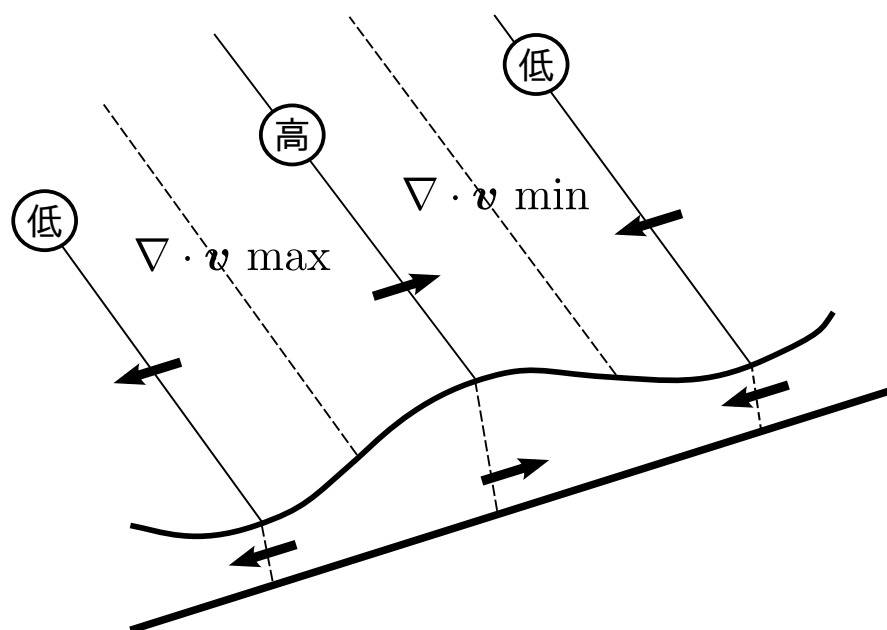


図 4: 浅水波の構造

4 平面波の構造

平面波の構造を見るために、 $u, v, \text{div } \boldsymbol{v}$ を h で表わし、位相関係を調べる。

(7) より

$$\text{div } \boldsymbol{v} = \frac{g(k^2 + l^2)}{-i\omega} h = i \frac{g(k^2 + l^2)}{-i\omega} h \quad (17)$$

(4), (5) より

$$u = -\frac{ikg}{-i\omega} h = \frac{gk}{\omega} h, \quad (18)$$

$$v = -\frac{ilg}{-i\omega} h = \frac{gl}{\omega} h \quad (19)$$

(17), (19) より、平面波の構造は図4のようになる。

5 浅水波の伝播

図4の構造を持つ波がどのように伝播していくかを考える.

1. 図5(a)において, AB上では $\operatorname{div} \mathbf{v} > 0$ であるから変位は減少してゆく
 $\left(\frac{\partial h}{\partial t} = -H_0 \operatorname{div} \mathbf{v}\right)$. また, AB上の流体は, 変位の gradient により波面に垂直な方向に加速される $\left(\frac{\partial \mathbf{v}}{\partial t} = -g \nabla h\right)$.
2. 水面が周囲より下がると, 周囲から低い部分に向かって加速されて流れが集まってくる ($\operatorname{div} \mathbf{v}$ が減少 $\frac{\partial}{\partial t}(\operatorname{div} \mathbf{v}) = -g \nabla^2 h$). それとともに水面が上昇してゆく (図5(b)).
3. やがて $\operatorname{div}_H \mathbf{v}$ が最小になり, さらに変位は増大していく (図5(c)). このとき変位の gradient により波面に垂直な方向に加速される.
4. 変位が最大になると, その周囲で高いところから低い方向へ向かう流れが加速され, $\operatorname{div} \mathbf{v}$ が増える $\left(\frac{\partial}{\partial t}(\operatorname{div} \mathbf{v}) = -g \nabla^2 h\right)$. 再び変位は減少し, 1.の状態に戻る.

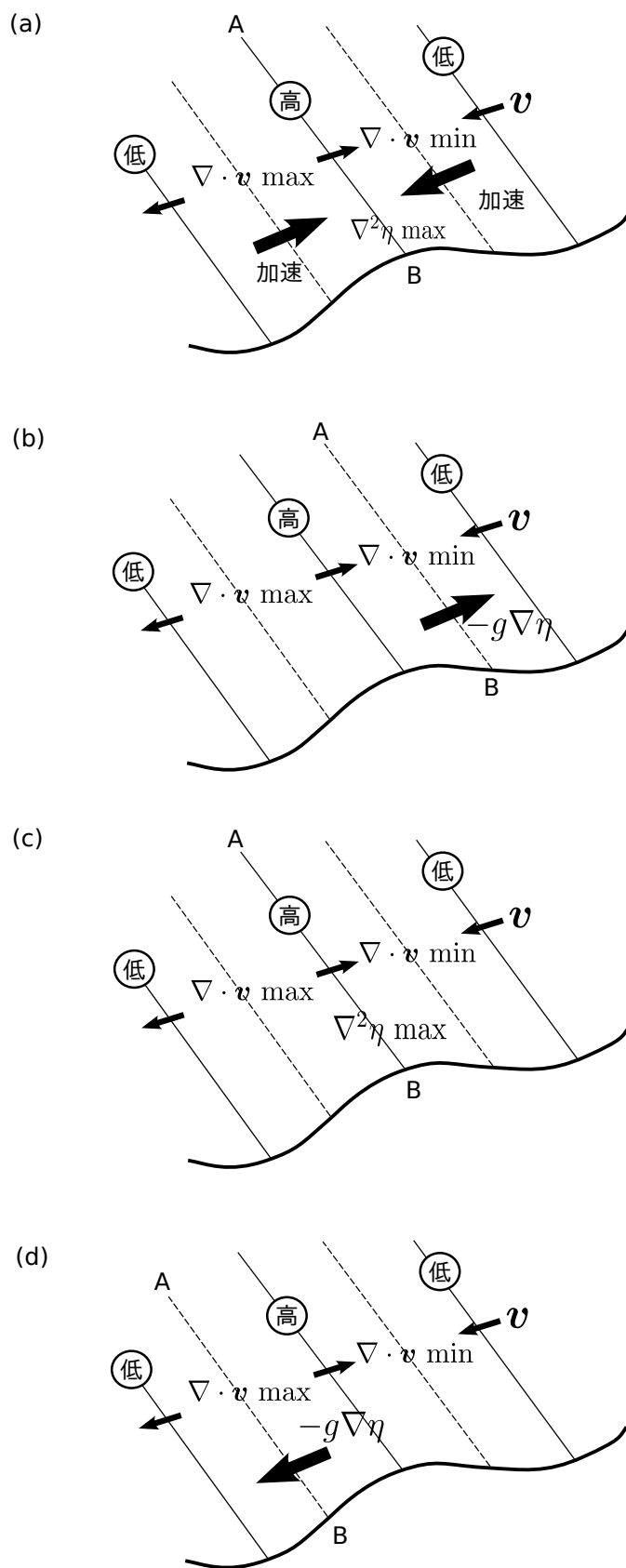


図 5: 浅水波の伝播

6 付録：波動方程式の初期値問題

波動方程式

$$\frac{\partial^2 h}{\partial t^2} - c^2 \frac{\partial^2 h}{\partial x^2} = 0 \quad (20)$$

を初期条件

$$\begin{cases} h|_{t=0} = h_0(x) \\ \frac{\partial h}{\partial t}|_{t=0} = \zeta_0(x) \end{cases}$$

の下で解く.

(20) を時間 t について Laplace 変換, 空間 x について Fourier 変換を行なうと

$$s^2 \tilde{h}(k, s) - s \hat{h}_0(k) - \hat{\zeta}_0(k) + k^2 c^2 \tilde{h}(k, s) = 0 \quad (21)$$

ただし, $\tilde{}$ は Laplace Fourier 変換, $\hat{}$ は Fourier 変換を表わす. すなわち

$$\begin{aligned} \tilde{F}(k, s) &\equiv \int_0^\infty dt e^{-st} \int_{-\infty}^\infty dx e^{-ikx} F(x, t), \\ \hat{G}(k) &\equiv \int_{-\infty}^\infty dx e^{-ikx} G(x). \end{aligned}$$

(21) を \tilde{h} について解くと

$$\tilde{h}(k, s) = \frac{s}{s^2 + k^2 + c^2} \hat{h}_0(k) + \frac{1}{s^2 + k^2 + c^2} \hat{\zeta}_0(k)$$

Laplace 逆変換を行なう.

$$\begin{aligned} \mathcal{L}^{-1} \left[\frac{s}{s^2 + k^2 + c^2} \right] &= \frac{1}{2} (e^{ikct} + e^{-ikct}) \\ \mathcal{L}^{-1} \left[\frac{1}{s^2 + k^2 + c^2} \right] &= \frac{1}{2ikc} (e^{ikct} - e^{-ikct}) \end{aligned}$$

より

$$\hat{h}(k, t) = \frac{1}{2} \hat{h}_0(k) (e^{ikct} + e^{-ikct}) + \frac{1}{2ikc} \hat{\zeta}_0(k) (e^{ikct} - e^{-ikct})$$

さらに逆 Fourier 変換すると, 第 1 項目は

$$\begin{aligned}
\mathcal{F}^{-1} \left[\frac{1}{2} \hat{h}_0(k) e^{ikct+ikx} \right] &= \frac{1}{2\pi} \int_{-\infty}^{\infty} dk \frac{1}{2} \hat{h}_0(k) e^{ikct+ikx} \\
&= \frac{1}{4\pi} \int_{-\infty}^{\infty} \int_{-\infty}^{\infty} dk dx' h_0(x') e^{ik(x-x'+ct)} \\
&= \frac{1}{2} \int_{-\infty}^{\infty} dx' h_0(x') \frac{1}{2\pi} \int_{-\infty}^{\infty} dk e^{-ik(x'-x-ct)} \\
&= \frac{1}{2} \int_{-\infty}^{\infty} dx' h_0(x') \delta(x' - x - ct) \\
&= \frac{1}{2} h_0(x - ct)
\end{aligned}$$

第3項目は

$$\begin{aligned}
\mathcal{F}^{-1} \left[-\frac{1}{kc} \hat{\zeta}_0(k) \sin(kct) \right] &= \frac{1}{2\pi} \int_{-\infty}^{\infty} dk \frac{e^{ikt}}{kc} \sin(kct) \int_{-\infty}^{\infty} \zeta_0(x) e^{-ikx'} dx' \\
&= \int_{-\infty}^{\infty} dx' \zeta_0(x) \frac{1}{2\pi} \int_{-\infty}^{\infty} \frac{1}{kc} \sin(kct) dk \\
&= \int dx' \zeta_0(x) \frac{1}{2\pi} \int_{-\infty}^{\infty} dk \int_0^t dt' \cos(kct') \\
&= \int_0^t dt' \frac{1}{2} \int dx' \zeta_0(x) \{ \delta(x - ct') + \delta(x + ct') \} \\
&= \frac{1}{2} \int_0^t dt' \{ \zeta(x - ct') + \zeta(x + ct') \} \\
&= \frac{1}{2c} \left\{ - \int_x^{x-ct} dp \zeta(p) + \int_x^{x+ct} dp \zeta(p) \right\} \\
&= \frac{1}{2c} \int_{x-ct}^{x+ct} dx' \zeta(x')
\end{aligned}$$

よって求める解は

$$h(x, t) = \frac{1}{2} \{ h_0(x - ct) + h_0(x + ct) \} + \frac{1}{2c} \int_{x-ct}^{x+ct} dx' \zeta(x).$$

7 シア一流中の伝播：W.K.B. 近似による記述

7.1 局所分散関係

回転のない浅水波方程式²から出発する。

$$\begin{aligned}\frac{\partial u}{\partial t} + u \frac{\partial u}{\partial x} + v \frac{\partial u}{\partial y} &= -g \frac{\partial h}{\partial x}, \\ \frac{\partial v}{\partial t} + u \frac{\partial v}{\partial x} + v \frac{\partial v}{\partial y} &= -g \frac{\partial h}{\partial y}, \\ \frac{\partial h}{\partial t} + u \frac{\partial h}{\partial x} + v \frac{\partial h}{\partial y} + H \left(\frac{\partial u}{\partial x} + \frac{\partial v}{\partial y} \right) &= 0.\end{aligned}$$

x 方向の流れ $U = U(y)$ に対する微小擾乱の振舞いを表わす式は $u = U + u'$, $v = v'$, $h = H_0 + h'$ を代入して'の2次の量を無視することにより得られる。

$$\frac{\partial u}{\partial t} + U \frac{\partial u}{\partial x} + v \frac{dU}{dy} = -g \frac{\partial h}{\partial x}, \quad (22)$$

$$\frac{\partial v}{\partial t} + U \frac{\partial v}{\partial x} = -g \frac{\partial h}{\partial y}, \quad (23)$$

$$\frac{\partial h}{\partial t} + U \frac{\partial h}{\partial x} + H_0 \left(\frac{\partial u}{\partial x} + \frac{\partial v}{\partial y} \right) = 0. \quad (24)$$

簡単のため'は省略した。(1)~(3)について, u, v を消去すると,

$$\left(\frac{\partial}{\partial t} + U \frac{\partial}{\partial x} \right) \left\{ \left(\frac{\partial}{\partial t} + U \frac{\partial}{\partial x} \right)^2 h - gH_0 \nabla^2 h \right\} + 2gH_0 \frac{dU}{dy} \frac{\partial h}{\partial x \partial y} = 0. \quad (25)$$

波束の振舞いを調べるために次の形の解を求める。

$$h = \sum_{n=0}^{\infty} \varepsilon^n A_n(X, Y, T) e^{i \frac{\vartheta(X, Y, T)}{\varepsilon}} \quad (26)$$

$$\begin{aligned}X &= \varepsilon x, & Y &= \varepsilon y, & T &= \varepsilon t, \\ & & & & 0 < \varepsilon \ll 1\end{aligned}$$

局所的な波数, 振動数は次のように定義される。

²この導出についてはシリーズ‘浅水波方程式’を参照せよ

$$k = \frac{1}{\varepsilon} \frac{\partial \vartheta}{\partial x} = \frac{\partial}{\partial X} \vartheta(X, Y, T) \quad (27)$$

$$l = \frac{1}{\varepsilon} \frac{\partial \vartheta}{\partial y} = \frac{\partial}{\partial Y} \vartheta(X, Y, T) \quad (28)$$

$$\omega = -\frac{1}{\varepsilon} \frac{\partial \vartheta}{\partial t} = -\frac{\partial}{\partial T} \vartheta(X, Y, T) \quad (29)$$

基本流 $U(y)$ は y 方向にゆっくり変化していると仮定する.

$$U \equiv U(Y)$$

(5) を (4) に代入し, ε の各 order でまとめる. $O(\varepsilon^0)$ より局所分散関係が求まる.

$$\omega = Uk \pm \sqrt{gH_0(k^2 + l^2)} \quad (30)$$

群速度は次のようになる.

$$c_{gx} \equiv \frac{\partial \omega}{\partial k} = U \pm \sqrt{gH_0} \frac{k}{\sqrt{k^2 + l^2}}, \quad (31)$$

$$c_{gy} \equiv \frac{\partial \omega}{\partial l} = \pm \sqrt{gH_0} \frac{l}{\sqrt{k^2 + l^2}} \quad (32)$$

7.2 波数・振動数の保存則

局所的波数，振動数についての保存則は次のようになる¹。

$$\frac{\partial k}{\partial T} + c_{gx} \frac{\partial k}{\partial X} + c_{gy} \frac{\partial k}{\partial Y} = 0, \quad (33)$$

$$\frac{\partial l}{\partial T} + c_{gx} \frac{\partial l}{\partial X} + c_{gy} \frac{\partial l}{\partial Y} = -\frac{\partial \omega}{\partial Y}, \quad (34)$$

$$\frac{\partial \omega}{\partial T} + c_{gx} \frac{\partial \omega}{\partial X} + c_{gy} \frac{\partial \omega}{\partial Y} = 0. \quad (35)$$

ω, k は \mathbf{c}_g で動く系からみて保存するが l は保存しない。

7.3 wave action

浅水波方程式のエネルギーの式に W.K.B. 近似解を代入することにより表面重力波の Wave action の保存則が得られる (Appendix.A)。

$$\frac{\partial}{\partial T} \left(\frac{\bar{E}}{\hat{\omega}} \right) + \frac{\partial}{\partial X} \left(c_{gx} \frac{\bar{E}}{\hat{\omega}} \right) + \frac{\partial}{\partial Y} \left(c_{gy} \frac{\bar{E}}{\hat{\omega}} \right) = 0. \quad (36)$$

ただし

$$\begin{aligned} \bar{E} &= \frac{1}{2} \left(\bar{u}^2 + \bar{v}^2 + \frac{g}{H_0} \bar{h}^2 \right) \\ \hat{\omega} &= \omega - Uk \end{aligned}$$

である。

¹この導出についてはシリーズ‘内部重力波～シア一流中の伝播’を参照せよ

8 シア一流中の波束の伝播

W.K.B. 近似の結果を用いてシア一流中の波束の伝播を記述する.

l は分散関係 (9) より,

$$l^2 = \frac{\hat{\omega}}{gH_0} - k^2 \quad (37)$$

を満たしながら変化してゆく.

1. いま, 図6のように $U(y)$ の流れの中に波束を置いたとする.
2. 波束が y 方向に伝播するにしたがって $\hat{\omega} = \omega - U(y)k$ は減少してゆく. (16) より, l は減少してゆく. 群速度は,

$$c_{gx} = U \frac{\sqrt{gH_0}k}{\sqrt{k^2 + l^2}}$$

$$c_{gy} = \frac{\sqrt{gH_0}l}{\sqrt{k^2 + l^2}}$$

$l \rightarrow 0$ になるにしたがって

$$c_{gx} \rightarrow U + \sqrt{gH_0}$$

$$c_{gy} \rightarrow 0$$

しかし, $\hat{\omega} \rightarrow 0$ とならないので $\bar{E} \rightarrow 0$ とならない.

8.1 turning level

$l = 0$ となる $y = y_t$ を turning level という. 波束が turning level に達するまでの時間を計算する.

y_1 から y_2 まで波束が伝播するのに要する時間 T は

$$T = \int_{y_1}^{y_2} \frac{dy}{c_{gy}} = \int_{l_1}^{l_2} \frac{1}{c_{gy}} \frac{dy}{dl} dl$$

ここで

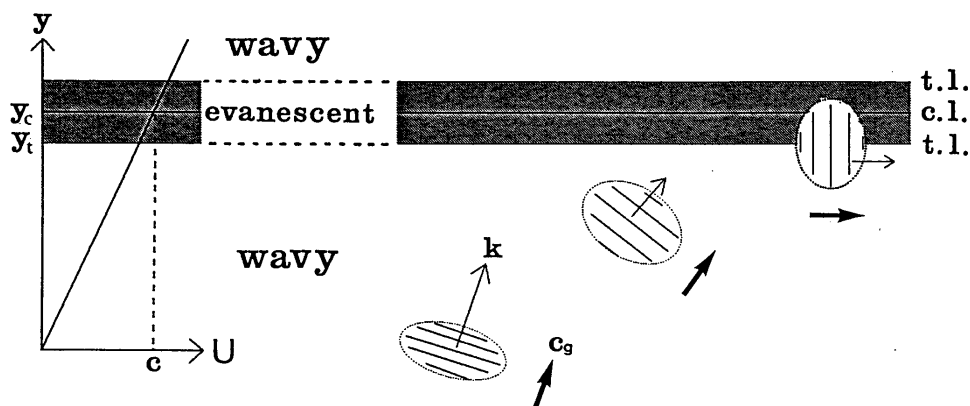


図 6: 浅水波の波束の伝播

$$2l \frac{dl}{dy} = \frac{2\hat{\omega}}{gH_0} \left(k \frac{dU}{dy} \right) = -2k \frac{dU}{dy} \sqrt{\frac{k^2 + l^2}{gH_0}}$$

$$\frac{dy}{dl} = -\frac{l\sqrt{gH_0}}{2k\sqrt{k^2 + l^2}U_y}$$

より

$$T = \int_{l_1}^{l_2} \frac{\sqrt{k^2 + l^2}}{\sqrt{gH_0}l} \left(-\frac{l\sqrt{gH_0}}{2k\sqrt{k^2 + l^2}} \frac{1}{c_y} \right) dl$$

$$= \frac{l_1 - l_2}{2kU_y} \rightarrow \frac{l_1}{2kU_y}$$

波束は有限の時間で turning level に達することができる。

8.2 W.K.B. 近似の吟味

W.K.B. 近似を用いるには、波長 $\frac{2\pi}{K} = \frac{2\pi}{\sqrt{k^2 + l^2}}$ と波数の変化するスケール $\left| \frac{1}{k} \frac{dK}{dy} \right|^{-1}$ の比が十分小さいことが必要である。そこで turning level 付近での波数の変化を調べる。

波数の変化するスケールは

$$\begin{aligned} \frac{dK}{dy} &= \frac{l}{\sqrt{k^2 + l^2}} \frac{dl}{dy} \\ &= \frac{l}{\sqrt{k^2 + l^2}} \frac{-2\hat{\omega}k}{gH_0 l} U_y \\ &= \frac{(U - c)k^2}{\sqrt{k^2 + l^2}} \frac{U_y}{gH_0} \end{aligned}$$

よって波長と波長に変化するスケールの比は、

$$\begin{aligned} \frac{\frac{1}{K}}{\left| \frac{1}{K} \frac{dK}{dy} \right|^{-1}} &= \left| \frac{1}{K^2} \frac{dK}{dy} \right| \\ &= \left| \frac{1}{k^2 + l^2} \frac{(U - c)k^2}{\sqrt{k^2 + l^2}} \frac{U_y}{gH_0} \right| \\ &= \left| \frac{k^2}{(k^2 + l^2)^{\frac{3}{2}}} \frac{U_y}{gH_0} (U - c) \right| \rightarrow \left| \frac{U_y}{gH_0 k} \sqrt{gH_0} \right| = \frac{U_y}{\sqrt{gH_0 k}}. \end{aligned}$$

$\frac{U_y}{\sqrt{gH_0 k}} \ll 1$ であれば、turning level まで W.K.B. 近似が使える。

しかし、W.K.B. 近似では波束が turning level に達した後の事は何も言えない。この近似では turning level に達するまでの事しか言えず、turning level の向こう側の情報は何も入ってこない。

9 linear shear 流中の浅水波の Over-Reflection 解

linear shear 流に対して無限遠から $e^{ik(x-ct)}$ の型の波を励起, 伝播させたときの定常解を求める. 透過波領域において critical level から遠ざかる方向に進む波しか存在しない, という境界条件を用いる. 変位だけの式 (4) について $h = \hat{h}(y)e^{ik(x-ct)}$ を代入すると

$$\frac{d^2 \hat{h}}{dy^2} - \frac{2}{U-c} \frac{dU}{dy} \frac{d\hat{h}}{dy} + k^2 \left\{ \frac{(U-c)^2}{gH_0} - 1 \right\} \hat{h} = 0. \quad (38)$$

平均の深さ H_0 , 特徴的な流れの速度 U_0 , シアの強さ $\frac{dU}{dy}$ を用いて無次元化を行う.

$$(x, y) = L(x^*, y^*), \quad t = \frac{L}{U_0} t^*, \quad \hat{h} = H_0 h^*, \\ U = U_0 U^*, \quad L = \frac{U_0}{dU/dy}.$$

これらを (17) に代入すると無次元化した変位の式が得られる.

$$\frac{d^2 \hat{h}}{dy^2} - \frac{2}{y} \frac{d\hat{h}}{dy} + k^2 \{ Fr^2 y^2 - 1 \} \hat{h} = 0. \quad (39)$$

ただし y 座標の原点を critical level $U - c = 0$ に選んだ. Fr はフルード数 $Fr \equiv \frac{U^2}{gH_0}$ である. *は省略してある.

(18) を $y = 0$ のまわりの級数解として求めると (Satomura(1981)).

$$\hat{h}_1 = \sum_{n=0}^{\infty} A_n y^{2n+3}, \quad (40)$$

$$A_1 = \frac{k^2}{10} A_0, \quad A_{n+1} = \frac{k^2}{(2n+5)(2n+2)} (A_n - Fr^2 A_{n-1}),$$

$$\hat{h}_2 = \sum_{n=0}^{\infty} A_n y^{2n}, \quad (41)$$

$$B_1 = -\frac{k^2}{2} B_0, \quad B_{n+1} = \frac{k^2}{(2n+2)(2n-1)} (B_n - Fr^2 B_{n-1}).$$

となる.

$y \rightarrow \pm\infty$ における (18) の解の振舞いを調べる. $\hat{h} = |y| \tilde{h}$ と変数変換すると (18) は

$$\frac{d^2 \tilde{h}}{dy^2} + \left\{ k^2 (Fr^2 y^2 - 1) - \frac{2}{y^2} \right\} \tilde{h} = 0. \quad (42)$$

この式は $y \rightarrow \pm\infty$ で

$$\frac{d^2 \tilde{h}}{dy^2} + k^2 Fr^2 y^2 \tilde{h} = 0. \quad (43)$$

に漸近する。これに W.K.B. 近似を適用して $y \rightarrow \pm\infty$ での漸近解が得られる。

$$\tilde{h}_+ = |P|^{-1/4} \exp\left(i \int^y \sqrt{P} dy\right), \quad (44)$$

$$\tilde{h}_- = |P|^{-1/4} \exp\left(-i \int^y \sqrt{P} dy\right). \quad (45)$$

ただし $P = k^2 Fr^2 y^2$ である。 \tilde{h}_+ は critical level から離れる方向、 \tilde{h}_- は critical level に向かう方向に進む波を表わす。境界条件を用いて解を定めよう。透過波領域 $y \rightarrow \infty$ においては critical level から離れる方向に進む波しかないので

$$\tilde{h} \equiv \alpha \tilde{h}_1 + \beta \tilde{h}_2 \sim A \tilde{h}_+ \quad (46)$$

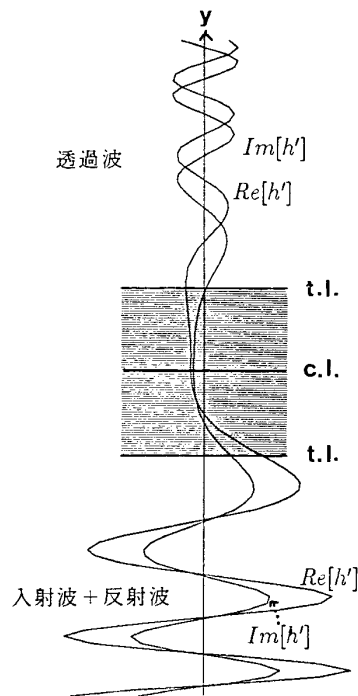
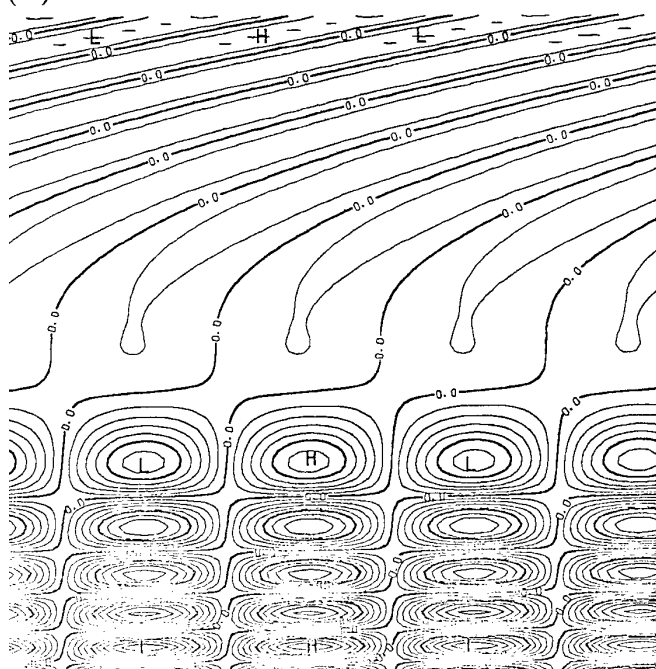
となる。ただし $\tilde{h}_{1,2}$ は $\hat{h}_{1,2}$ を $|y|$ で割り算したものであり、 α, β, A は複素定数である。ここで \tilde{h}_+ について $\frac{d\tilde{h}_+}{dy} + \left(\frac{dP/dy}{4|P|} + i\sqrt{P}\right) \tilde{h}_+ = 0$ が成り立つことから α と β の比が定まる。

$$\frac{\beta}{\alpha} = - \left[\frac{\frac{d\tilde{h}_1}{dy} + \left(\frac{dP/dy}{4|P|} + i\sqrt{P}\right) \tilde{h}_1}{\frac{d\tilde{h}_2}{dy} + \left(\frac{dP/dy}{4|P|} + i\sqrt{P}\right) \tilde{h}_2} \right]_{y=y_{obs}}. \quad (47)$$

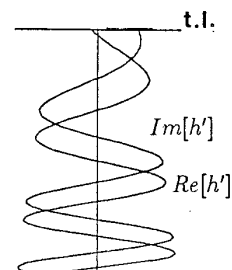
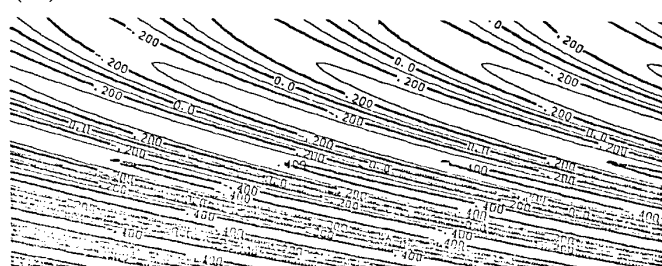
y_{obs} は透過波側で W.K.B. 近似が十分成り立つ点である。

$Fr = 7.0, k = 4.0$ での結果を図 7 に示す。反射波の振幅が入射波より大きくなっている (Over-Reflection)。

(a) Over-Reflection 解 (表面変位 h')



(b) 入射波成分



(c) 反射波成分

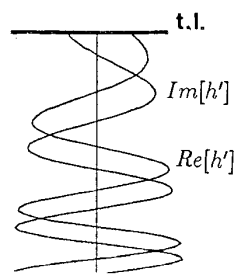
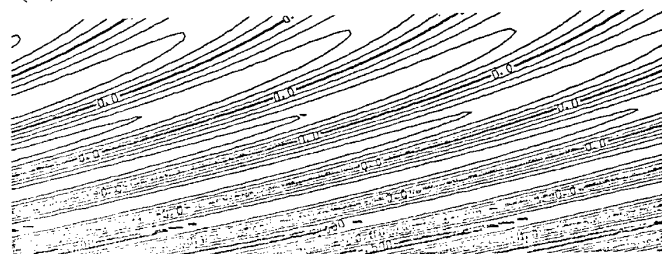


図 7: 浅水波の Over-Reflection 解

10 浅水波の wave action の保存則

(1)~(3) よりエネルギーの式を作る.

$u \times (1) + v \times (2)$ より,

$$\left(\frac{\partial}{\partial t} + U \frac{\partial}{\partial x}\right) \left\{ \frac{1}{2}(u^2 + v^2) \right\} + uv \frac{dU}{dy} = -g\mathbf{v} \cdot \nabla h \quad (48)$$

$\frac{gh}{H_0} \times (3)$ より,

$$\left(\frac{\partial}{\partial t} + U \frac{\partial}{\partial x}\right) \left(\frac{g}{2H_0} h^2\right) + gh \operatorname{div} \mathbf{v} = 0. \quad (49)$$

(27), (28) を足すことにより,

$$\left(\frac{\partial}{\partial t} + U \frac{\partial}{\partial x}\right) E + \operatorname{div}(gh\mathbf{v}) + uv \frac{dU}{dy} = 0. \quad (50)$$

ただし E は擾乱のエネルギー

$$E \equiv \frac{1}{2} \left(u^2 + v^2 + \frac{g}{H_0} h^2 \right)$$

W.K.B. 解を用いることにより $O(\varepsilon^0)$ の展開から,

$$\begin{aligned} u_0 &= \frac{gk}{\hat{\omega}} h_0 \\ v_0 &= \frac{gl}{\hat{\omega}} h_0 \end{aligned}$$

ただし $\hat{\omega} \equiv \omega - Uk$ である. これを用いると擾乱のエネルギーの 1 波長平均 \bar{E} は

$$\begin{aligned} \bar{E} &= \frac{1}{2} \left\{ \left(\frac{gk^2}{\hat{\omega}} \right) + \left(\frac{gl^2}{\hat{\omega}} \right) + \frac{g}{H_0} \right\} \overline{h_0^2} \\ &= \frac{1}{2} \left\{ \frac{g(k^2 + l^2)}{\hat{\omega}^2} + \frac{g}{H_0} \right\} \overline{h_0^2} \\ &= \frac{1}{2} \frac{2g}{H_0} \overline{h_0^2} \\ &= \frac{g}{H_0} \overline{h_0^2} \end{aligned}$$

また,

$$\frac{k}{\hat{\omega}} = \frac{k}{\sqrt{gH(k^2 + l^2)}} = \frac{c_{gx}}{gH_0}$$

を用いると

$$\begin{aligned}\frac{\partial}{\partial x}(\overline{ghu}) &= \frac{\partial}{\partial x} \left(\frac{g^2 k}{\hat{\omega}} \overline{h_0^2} \right) \\ &= \frac{\partial}{\partial x} \left(\hat{c}_{gx} \frac{g}{H_0} \overline{h_0^2} \right) \\ &= \frac{\partial}{\partial x} (\hat{c}_{gx} \bar{E}),\end{aligned}$$

$$\begin{aligned}\frac{\partial}{\partial y}(\overline{ghv}) &= \frac{\partial}{\partial y} \left(\frac{g^2 l}{\hat{\omega}} \overline{h_0^2} \right) \\ &= \frac{\partial}{\partial y} \left(\hat{c}_{gy} \frac{g}{H_0} \overline{h_0^2} \right) \\ &= \frac{\partial}{\partial y} (\hat{c}_{gy} \bar{E}).\end{aligned}$$

また波数保存則より

$$\begin{aligned}\frac{D_g \hat{\omega}}{Dt} &\equiv \left(\frac{\partial}{\partial t} + c_{gx} \frac{\partial}{\partial x} + c_{gy} \frac{\partial}{\partial y} \right) \hat{\omega} \\ &= \frac{D_g \omega}{Dt} - U \frac{Dk}{dt} - k \frac{DU}{Dt} \\ &= -k c_{gy} \frac{dU}{dy}\end{aligned}$$

となるので

$$\begin{aligned}\overline{uv} \frac{dU}{dy} &= -\frac{1}{k c_{gy}} \frac{D_g \hat{\omega}}{Dt} \overline{uv} \\ &= -\frac{1}{k c_{gy}} \frac{g^2 k l}{\hat{\omega}^2} \overline{h_0^2} \frac{D_g \hat{\omega}}{Dt} \\ &= -\frac{g \overline{h_0^2}}{H_0} \frac{1}{\hat{\omega}} \frac{D_g \hat{\omega}}{Dt} \\ &= -\frac{\bar{E}}{\hat{\omega}} \frac{D_g \hat{\omega}}{Dt}\end{aligned}$$

これらより (29) の 1 波長平均をとると,

$$\left(\frac{\partial}{\partial t} + U \frac{\partial}{\partial x} \right) \bar{E} + \frac{\partial}{\partial x} (c_{gx} \bar{E}) + \frac{\partial}{\partial y} (c_{gy} \bar{E}) - \frac{\bar{E}}{\hat{\omega}} \left(\frac{\partial}{\partial t} + c_{gx} \frac{\partial}{\partial x} + c_{gy} \frac{\partial}{\partial y} \right) \hat{\omega} = 0,$$

よって, 浅水波の wave action 保存則がもとまる.

$$\frac{\partial}{\partial t} \left(\frac{\bar{E}}{\hat{\omega}} \right) + \frac{\partial}{\partial x} \left(c_{gx} \frac{\bar{E}}{\hat{\omega}} \right) + \frac{\partial}{\partial y} \left(c_{gy} \frac{\bar{E}}{\hat{\omega}} \right) = 0. \quad (51)$$

11 参考文献

- Satomura, T., 1981 : An investigation of shear instability in a shallow water. *J. Met. Soc. Japan*, **59**, 148-167
- Takehiro, S. and Hayashi, Y.-Y., 1992: Overreflection and shear instability in a shallow water. *J. Fluid. Mech.*, (in print).
- Whitham, G.B., 1974 : Linear and nonlinear waves. A Wiley-Interscience Publication, 636pp.
- 竹広真一, 1989 : 浅水波の Over-Reflection とシアー不安定. (修士論文)